

Fig. 160. Kalkspat. Ditrigonal-skalenoedrisch.  $t \{2\bar{1}31\}$ ;  $r \{10\bar{1}\}$ .

Fig. 161. Turmalin. Ditrigonal-pyramidal.  $p \{01\bar{1}0\}$ ;  $s \{11\bar{2}0\}$ ;  $r \{10\bar{1}1\}$ ;  $r' \{011\bar{1}\}$ ;  $o \{02\bar{2}1\}$ ;  $e \{10\bar{1}2\}$ . Nach Tschermark.

Fig. 162. Quarz. Trigonal-trapezoedrisch. Rechtsquarz.  $m \{10\bar{1}0\}$ ;  $r \{10\bar{1}1\}$ ;  $r' \{01\bar{1}1\}$ ;  $s \{11\bar{2}1\}$ ;  $x \{51\bar{6}1\}$ .

Fig. 163. Quarz. Trigonal-trapezoedrisch. Linksquarz.  $m \{10\bar{1}0\}$ ;  $r \{10\bar{1}1\}$ ;  $r' \{01\bar{1}1\}$ ;  $s \{2\bar{1}11\}$ ;  $x \{61\bar{5}1\}$ .

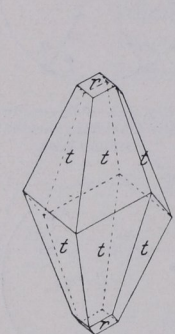


Fig. 160. Kalkspat.

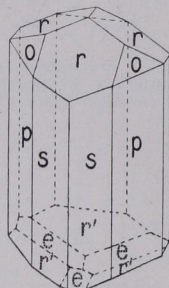


Fig. 161. Turmalin.

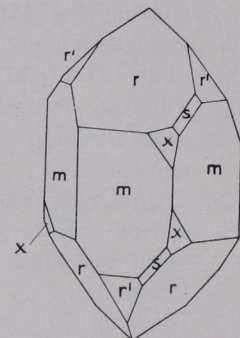


Fig. 162. Rechtsquarz.

Fig. 164. Dioptas. Trigonal-rhomboedrisch.  $p \{11\bar{2}0\}$ ;  $r \{02\bar{2}1\}$ ;  $s \{14\bar{1}3\bar{1}6\}$ .

Fig. 165. Natriumperjodat. Trigonal-pyramidal.  $c \{0001\}$ ;  $r \{10\bar{1}1\}$ ;  $e \{02\bar{2}1\}$ ;  $s \{11\bar{2}3\}$ .

Fig. 166. Benitoit. Ditrigonal-bipyramidal.  $c \{0001\}$ ;  $p \{10\bar{1}1\}$ ;  $m \{10\bar{1}0\}$ ;  $e \{011\bar{2}\}$ ;  $\pi \{01\bar{1}1\}$ ;  $\mu \{01\bar{1}0\}$ ;  $a \{11\bar{2}0\}$ ;  $x \{22\bar{4}1\}$ .

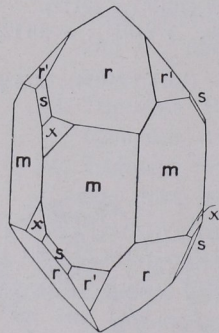


Fig. 163. Linksquarz.

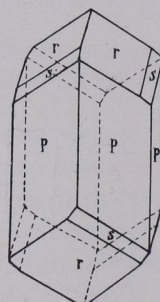


Fig. 164. Dioptas.

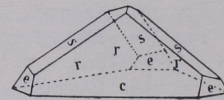


Fig. 165. Natriumperjodat.

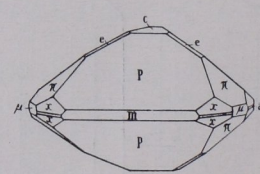


Fig. 166. Benitoit.